

## 乱流における散逸構造

名大 工学部 菊原 真二

### § 1. まえおき

散逸とは一般の大きさの運動の形式から小さい運動の形式へ、最終的には熱運動へエネルギーの移行する現象である。散逸関数(単位体積あたりの散逸)は  $\frac{1}{2}$ (応力 × 変形速度)であり、しづかに粘性率に比例する。ここで乱流におけるは調粘性に比例すると考えられる。

乱流すり流(turbulent shear flow)の中で、みその間の Poiseuille 乱流(plane Poiseuille turbulence) = P.P.T.) は種々の乱流機構を包含する、しかも最も単純な流れである。P.P.T. では内壁附近の境界層でつくられた大きな渦が中央部の core flow を放出される。境界層においては強い速度勾配のために、大きな散逸とある。core flowにおいては、放出された渦はもつと小さな渦に遷移し、最後は粘性により消滅する。後者の core flow における散逸過程は乱流特有のものであり、層流にくらべて乱流で散逸が顕著にある原因である。

境界層では壁に接した粘性底層から順次に緩和層(buffer layer), 扩散層があり、その中に core flow が存在する。

対数層では渦粘性率が壁からの距離に比例し、途中遷移の領域をすり替へ、core flowでは渦粘性率一定とみなすとする。  
core flowではゆるい平均流の変化があるが、乱れは一樣、等方的とみなしうる。

粘性には速度の不均一性を平等化する作用があり、これは不均一な平行な速度場では、不均一性の方に向かって、速度が平行な平面を通しての運動量のやりとりにより、平等化の機構が説明できる。分子粘性では分子個々の運動量が、乱流ではもつと大きな規模の“小さな渦”的運動量がその役割をはたす。そこで小さな渦のふるまいが渦粘性の特性を決定すると考へることである。

## § 2. 渦粘性の乱流シクロ理論

前節に述べたように、core flowでの渦粘性率は一定であり、それは小さな渦のふるまいが特性が決定すると考へられる。core flowは空間的尺度、時間的尺度、くり返す平均流(乱流マクロ、T-macro)と乱れ(乱流シクロ、T-micro)が共存し、相互の相互作用をおこなっている。乱れは一樣、等方的とみなしてよく、これが乱れの場を Fourier変換して表わすことができる。乱れのエネルギーは平均流からも供給されるが、境界

層から漏出の放出による伝給が主であると考へるので、境界層の厚さ  $\delta$  に対する波数  $k$  ( $\approx \delta^{-1}$ ) の附近で  $u = 0$  とし、又  $\partial u / \partial x$  の極大値があると考へるので。波数空間  $T$ -macro の対応  $k_M$  を求めれば  $k_M \ll k_0$  である。  $k_M$  と  $k$  の間の  $k_1$  ( $k_M \ll k_1 < k_0$ ) をとり、 $x \in T$ -micro と  $T$ -macro の境界と考へる。これより  $k > k_1$  のときは  $k < k_1$  のときと同様である。

Fourier 変換と  $\alpha$  Navier-Stokes (N.-S.) 方程式は

$$\left( \frac{\partial}{\partial t} + \nu k^2 \right) u_\alpha(k, t) = - i \Delta_{\alpha\beta}(k) k_\beta \int u_\beta(k', t) u_\beta(k - k', t) d^3 k' \quad (2.1)$$

$$\left. \begin{aligned} \Delta_{\alpha\beta}(k) &= \delta_{\alpha\beta} - k_\alpha k_\beta / k^2 \\ u_\alpha(k, t) &= \int v_\alpha(x, t) e^{-ik \cdot x} d^3 x \end{aligned} \right\} \quad (2.2)$$

である。すなはち  $v_\alpha(x, t)$  は乱れの流速、 $u_\alpha(k, t)$  はその Fourier 変換である。 $(2.1)$  の左辺は input、右辺の  $\frac{\partial u_\alpha}{\partial t}$  は output であるが、左辺の “ $\nu$  は同時に非線形相互作用”

12

$$\left. \begin{aligned} \text{input} & & \text{output} \\ k', t & \longrightarrow k, t \\ k - k', t \end{aligned} \right\} \quad (2.3)$$

の形をもつ。

$k$  が大きい場合 ( $|k| \ll k_1$ ) のときは  $\nu = 0$

$$\left( \frac{\partial}{\partial t} + v_T k^2 \right) u_\alpha(k, t) = \text{非线形相互作用} \quad (2.4)$$

の形で書かれたならば、それは“渴動性事”と言えます。(又1)の左边を非渴動性とすると形式的分類ができます。

$$u_x(k, t) = -i \Delta_{\text{FS}}(k) k_x \int_{-\infty}^t \int u_p(k', t') \\ u_S(k - k', t') e^{-i k' x(t-t')} dk' dt' \quad (2.5)$$

上等子。乙=乙<sup>..</sup>(2-5)在两个非经形变事件

$$\left. \begin{array}{c} k', t' \\ -k', t' \end{array} \right\} \left\{ \begin{array}{c} t' = -\infty \rightsquigarrow t \\ \rightarrow k, t \end{array} \right. \quad (2.6)$$

の形と見て。 (2.1) の  $u_s(k-k', t)$  の式 (2.5) の表式を入  
れよう。

$$\begin{array}{c}
 \text{input} \\
 \left. \begin{array}{l} k', t \\ k'', t' \\ k - k' - k'', t' \end{array} \right\} \xrightarrow{-\infty \sim t} \left. \begin{array}{l} k, t \\ k - k', t \end{array} \right\} \longrightarrow k, t
 \end{array}$$

の形になります。二十二三頁では薬剤種類形相互通用と子母二字を取扱う。

(2.1)  $\kappa$  が  $\kappa'$  の種分空間であることを、 $\kappa$  の中心と半径  $k_1$  の 2 点

$\kappa$  が  $\kappa$ -空間を I, II, II',

III の分割である (Fig. 1)。  $\kappa'$

は I, II' の和と T-macro,

II, III の和と T-micro,

$\kappa - \kappa'$  は I, II の和である

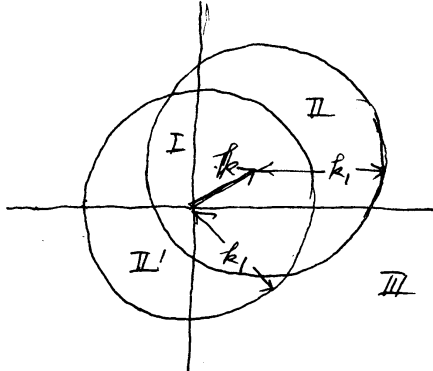


Fig. 1.  $\kappa$ -空間の分割

T-micro は  $\kappa$ -空間の部分である。この分割は

$$\left. \begin{array}{l} \kappa' \text{ in } I \iff \kappa - \kappa' \text{ in } I \\ \kappa' \text{ in } II \iff \kappa - \kappa' \text{ in } II' \\ \kappa' \text{ in } II' \iff \kappa - \kappa' \text{ in } II \\ \kappa' \text{ in } III \iff \kappa - \kappa' \text{ in } III \end{array} \right\} \quad (2.8)$$

の関係である。 $\kappa', \kappa - \kappa'$  が II 及び II' にあたるとは T-micro  
の属性である。III の属性は II' の一方で  $\kappa - \kappa'$  に  $\kappa'$  に (2.5)  
の表示で入る。

$$\begin{aligned} \left( \frac{\partial}{\partial t} + \nu \kappa^2 \right) u_\alpha(\kappa, t) &= -i \Delta_{\alpha\beta}(\kappa) \kappa_\beta \left[ \int_I u_\beta(\kappa', t) \right. \\ &\quad u_\gamma(\kappa - \kappa', t) d^3 \kappa' - i \int_{-\infty}^t \int_{\text{II+III}} \int \Delta_{\beta\lambda}(\kappa') \kappa_{\mu'} u_\lambda(\kappa'', t') \\ &\quad u_\mu(\kappa' - \kappa'', t') u_\gamma(\kappa - \kappa', t') e^{-\nu \kappa'^2(t-t')} d^3 \kappa'' d^3 \kappa' dt' \\ &- i \int_{-\infty}^t \int_{\text{II'}} \int \Delta_{\beta\lambda}(\kappa - \kappa') (\kappa_\mu - \kappa'_{\mu'}) u_\beta(\kappa', t) u_\lambda(\kappa'', t') \\ &\quad \left. u_\mu(\kappa - \kappa' - \kappa'', t') e^{-\nu(\kappa - \kappa')^2(t-t')} d^3 \kappa'' d^3 \kappa' dt' \right] \quad (2.9) \end{aligned}$$

Ej 30

以下の理論的展開のため次の基本的仮定を導入する：

- 1) T-macro と T-micro の分離が明確にてばれ、対応する特徴時間  $t_{\text{macro}}$ ,  $t_{\text{micro}}$  の間には

$$t_{\text{macro}} \gg t_{\text{micro}} \quad (2.10)$$

の関係がある。

- 2) T-macro は一様, T-micro は一様、等方的である。

- 3)  $t_{\text{macro}} \gg t_{\text{mean}} \gg t_{\text{micro}}$  (2.11)

と満足する時間  $t_{\text{mean}}$  の間での平均化  $\langle \rangle$  を定義する。

以上の仮定から導かれる 2, 3 の基本的結果を以下。

まず T-macro, T-micro の関連係数  $Q, g$  の積の平均を

$$\langle Qg \rangle \cong Q(t) \langle g \rangle \quad (2.12)$$

のように近似する。さらに 2) の T-micro の一様、等方性から  $k$ -空間の 2 点 2 時刻連度相關を求めて

$$\langle u_\alpha(k, t) u_\beta(k', t') \rangle = \delta_{\alpha\beta}(k) \delta(k, t, t')$$

$$\delta^3(k + k') \quad (2.13)$$

が成り立つ。また  $Q(k, t), g(k, t)$  と  $\langle \cdot \rangle$  の積分  $\int d^3k$  の仮定から次の式が近似される：

$$\int_0^t Q(k, t') g(k, t') dt' \cong Q(k, t) \int_0^t g(k, t') dt' \quad (2.14)$$

$\epsilon \ll |k| \ll k_0$ , 考慮し, (2.12) の近似をとるとき

(2.9) は

$$\begin{aligned}
 (\frac{\partial}{\partial t} + v k^2) u_\alpha(k, t) = & - i \Delta_{\alpha\beta}(k) k_\beta \int_I u_\beta(k', t') u_\gamma(k - k', t') \\
 & d^3 k' - \int_{-\infty}^t \int_{\text{II}} \Delta_{\alpha\beta}(k) \Delta_{\beta\lambda}(k') k_\lambda k_\mu \langle u_\lambda(k', t') u_\mu(k' \\
 & - k'', t') \rangle u_\beta(k - k', t') e^{-v k'^2(t-t')} d^3 k'' d^3 k' dt' \\
 & - \int_{-\infty}^t \int_{\text{II}'} \int \Delta_{\alpha\beta}(k) \Delta_{\beta\lambda}(k - k') k_\lambda (k_\mu - k'_{\mu'}) u_\beta(k', t') \\
 & \langle u_\lambda(k'', t') u_\mu(k - k' - k'', t') \rangle e^{-v(k-k')^2(t-t')} \\
 & d^3 k'' d^3 k' dt' - \int_{-\infty}^t \int_{\text{III}} \int \Delta_{\alpha\beta}(k) \Delta_{\beta\lambda}(k') k_\lambda k'_{\mu'} \\
 & \langle u_\lambda(k'', t') u_\mu(k' - k'', t') u_\beta(k - k', t') \rangle e^{-v k'^2(t-t')} \\
 & d^3 k'' d^3 k' dt' \tag{2.15}
 \end{aligned}$$

となる。

(2.15) の積分について、前と同様に  $k$ -空間の  
分割を行ふが、2つの異なる  $k'$  の II と III および  $k$  が II' に  
属する場合を Fig. 2 の 2 つの分割図である。更に近似  
(2.12) の  $u$  一樣、等方性 (2.13) をとると (2.15) は

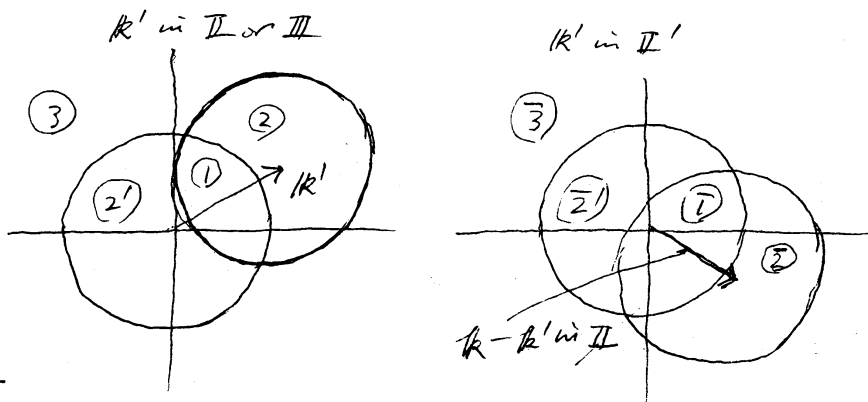


Fig. 2

$$\begin{aligned}
 \left( \frac{\partial}{\partial t} + v_T k^2 \right) u_\alpha(k, t) = & - i \Delta_{\alpha\beta}(k) k_\beta \int_I u_\beta(k', t) u_\delta(k - k', \\
 & t) d^3 k' - \Delta_{\alpha\beta}(k) k_\beta \int_{-\infty}^t \int_{II} \int_{\textcircled{1}} \Delta_{\beta\lambda}(k') k'_\mu u_\lambda(k'', t') \\
 & u_\mu(k' - k'', t') u_\delta(k - k', t) e^{-v k'^2(t-t')} d^3 k'' d^3 k' dt' \\
 & - \Delta_{\alpha\beta}(k) k_\beta \int_{-\infty}^t \int_{II} \int_{\textcircled{2}} \Delta_{\beta\lambda}(k') k''_\mu u_\beta(k', t) u_\lambda(k'', t') \\
 & u_\mu(k - k' - k'', t'') e^{-v(k-k')^2(t-t'')} d^3 k'' d^3 k' dt' \\
 & - \Delta_{\alpha\beta}(k) k_\beta \int_{-\infty}^t \int_{II} \int_{\textcircled{3}} \Delta_{\beta\lambda}(k') k'_\mu \langle u_\lambda(k'', t') \\
 & u_\mu(k' - k'', t') u_\delta(k - k', t) \rangle e^{-v k'^2(t-t')} d^3 k'' d^3 k' dt' \\
 \end{aligned} \tag{2.16}$$

$$\begin{aligned}
 v_T = & v \left( 1 + \frac{8\pi}{15} \int_{-\infty}^t \int_{k_1}^{\infty} k'^4 \bar{\Psi}(k', t, t') (t-t') e^{-vk'^2(t-t')} \right. \\
 & dk' dt' + \frac{8\pi}{15} \int_{-\infty}^t \int_{k_1}^{\infty} k'^2 \bar{\Psi}(k', t, t') e^{-vk'^2(t-t')} dk' dt' \\
 & \left. - \frac{2\pi}{15} k_1^3 \int_{-\infty}^t \bar{\Psi}(k_1, t, t') e^{-vk_1^2(t-t')} dt' + O(k/k_1) \right) \\
 \end{aligned} \tag{2.17}$$

Σ j 3。  $v_T$  の渦動粘性率とは別なべきである<sup>2</sup>。この主要項は第2項である。すなわち  $v \approx 0$  なら  $\bar{\Psi}(k_1, t, t')$   
 $\approx 0$  となる。

$$v_T = \frac{8\pi}{15} \int_{-\infty}^t \int_{k_1}^{\infty} k'^2 \bar{\Psi}(k', t, t') dk' dt' \tag{2.18}$$

Σ j 3。

### § 3. 外力のない Burgers 方程式の解

§ 2.2 の  $\sim$  2.3 で、wave flow の乱れは境界層からの  
 渦の放出による渦が小形化して最終的に運動エネルギーを散逸過程

とみなすことができる。境界層の厚さの程度の湯の放出を考えるから、 $k$ -空間において  $\delta^{-1}$  程度の波数領域でエネルギー・スペクトルの最大値があり、これはエネルギーが大部分をもつて力の放出があると言えることができる。偶然力のほう Fourier 变換すると N-S. 方程式の数値的解くことによって、 $U(k, t, t')$  を求める計算方法が可能である。しかし、偶然力の性質、Reynolds 數をいくつも取ると、いよいよ、境界層からの湯の放出機構、湯の放出と core flow における散逸との平衡機構等をしらべなければ解決しない問題である。

今二つめの手はいめとして、偶然力の方 + Burgers 方程式：

$$\frac{\partial}{\partial t} u(k, t) = -\frac{1}{R} k^2 u(k, t) - i k \int_{-\infty}^{\infty} u(k', t) u(k-k', t) dk' + f(k, t) \quad (3.1)$$

の初期値問題を考こう。 $k = \Delta k l$  ( $l = -L, \dots, L$ ) のように  $u(k, t)$

$$\frac{d u_e}{dt} = -\frac{1}{R} (\Delta k)^2 l^2 u_e - i (\Delta k)^2 l \sum_{e'=e-L}^{L-1} u_{e'} u_{e-e'} + f_e(t) \quad (3.2)$$

を基礎方程式とする。 $\Delta k = 0.2$  とし、偶然力は  $k = 0.6, 0.8, 1.0$  ( $l = 3, 4, 5$ ) の時  $f(k)$  と  $(f(-k) = f(k)^*)$

$$\left. \begin{aligned} \langle f_3^2 \rangle &= \langle f_4^2 \rangle = \langle f_5^2 \rangle = \frac{1}{3} \\ \langle f_3 f_4 \rangle &= \langle f_4 f_5 \rangle = \langle f_5 f_3 \rangle = 0 \end{aligned} \right\} \quad (3.3)$$

この確率分布は正規分布である。

$$P[f_\ell] = \frac{3}{\pi} e^{-f_\ell^* f_\ell} \quad \ell = 3, 4, 5 \quad (3.4)$$

となる。又偶数力はこの他の時間 0.6, 0.8, 1 で保有する。  
2, 4, 5 の分布は

$$P(t=0.6) = P(t=0.8) = P(t=1) = \frac{1}{3} \quad (3.5)$$

とする。この計算でもう一つ偶数力の時間に対する変化  
は Fig. 4(a) に示してある。

$R$  (Reynolds 数) = 20,  $\Delta k = 0.2$ ,  $\Delta t$  (時間间隔) = 0.02,  $L$  ( $\therefore \eta = L$  Fourier 成分の数) = 20 の場合  
の Fourier 成分の消長が、実数値を横軸、虚数値を縦軸と  
した相図とFig. 3 と、実数値、虚数値との時間的発展を Fig. 4(c) に示してある。

エネルギー分布  $DE_e(t)$ , 散逸分布  $DD_e(t)$ , 2 次元半  
位達分布  $DET_e(t)$  の定義を示す。

$$\left. \begin{aligned} ED_e(t) &= \frac{1}{2} (u_e(t) u_e(t)^* + u_{-e}(t) u_{-e}(t)^*) \\ &= u_e(t) u_e(t)^* \\ DD_e(t) &= \frac{2}{R} (\Delta k)^2 \ell^2 ED_e(t) \\ DET_e(t) &= 2 (\Delta k)^2 \ell \sum_{\ell'=-L}^{L'} \{ u_e^* u_{e'} u_{e-e'} - u_e u_{e'}^* \} \end{aligned} \right\} \quad (3.6)$$

すな、(時間) 平均工次 $\omega$ 一分布  $ME_e(t)$ , 平均散逸分布  $MD_e(t)$ , 平均工次 $\omega$ 一伝達分布  $MET_e(t)$ を

$$\left. \begin{aligned} ME_e(t) &= \frac{1}{t} \int_0^t ED_e(t') dt' \\ MD_e(t) &= \frac{1}{t} \int_0^t DD_e(t') dt' \\ MET_e(t) &= \frac{1}{t} \int_0^t DET_e(t') dt' \end{aligned} \right\} \quad (3.7)$$

とす。Fig. 5 は  $t=10, t=50, t=100$  におけるこれらの分布が示してある。

工次 $\omega$ 一供給率 及び平均工次 $\omega$ 一供給率を

$$\left. \begin{aligned} RES(t) &= f_3(t) u_3(t)^* + f_4(t) u_4(t)^* + f_5(t) u_5(t)^* \\ &\quad + c.c. \end{aligned} \right\} \quad (3.8)$$

$$MRES(t) = \frac{1}{t} \int_0^t RES(t') dt'$$

と定義する。Fig. 4 (c) は  $RES(t)$ ,  $MRES(t)$  の半周期である。2 周期 $T$ と  $MRES(t)$  は  $t=2$  付近で一定値を取ると思われる。

#### §4. 章末

以上において、乱流オリ流の core flow を用いて渦動性率と波数空間における速度 (速度 Fourier 成分) の 2 次 2 時刻の相關関数、2 番目を示す。この理論においては、大まか渦 (T-macro) の子のままである小まか渦 (T-micro) の効果と粘性効果と同様形で  $\gamma_2$  を用いて

まく。  $\nu_T$  の主要項 (2.18) は (2.15) の右边の最後の項 (積分支数  $\kappa'$  は  $T$ -micro 属する) で  $\kappa''$  と  $\kappa' - \kappa'$  の一方が  $T$ -micro, 一方が  $T$ -macro に属する時に生じ, そのほか  $\kappa'', \kappa' - \kappa'', \kappa - \kappa'$  の 3 種相間は ( $\kappa - \kappa'$  が必ず  $T$ -micro 属するから)  $\kappa''$  と  $\kappa - \kappa'$  または  $\kappa' - \kappa''$  と  $\kappa - \kappa'$  の 2 種相間と  $T$ -macro の速度との積で移行する。2 種相間は (2.13) の  $\epsilon$ ,  $\epsilon$  遠近的効果を持つており、経路  $\kappa$  すなれば “あるいは”  $\kappa$  す

$$\begin{array}{c} \kappa', t \\ \kappa, t' \\ -\kappa', t' \end{array} \left. \right\} \xrightarrow[-\infty \sim t]{} \kappa, t \quad (4.1)$$

のような 3 種 2 時刻非線形作用の形を取る。 $(4.1)$  の左边では  $\kappa$  は  $T$ -macro に属し, (2.10) の仮定を  $t < t' \ll t$  と考へれば時間積分の外れ  $\kappa = u_\alpha(\kappa, t)$  の形をとる。経路 (2.4) の形がえられる。すなはち非線形項の中から調和性項を除く  $\gamma = \omega_2^2 \omega_1^2$  がでまることがわかる。

この理論では,  $\Psi(\kappa, t, t')$  がわかれば“調和性”がわからず。それは  $\gamma = 0$ ,  $\Psi(\kappa, t, t')$  と理論的につながる問題がいる。このためには、境界からの渦の放出の機構をしらべ それを波数空間にかけ偶然力の効果として近似して、偶然力の市  $\gamma$  Fourier 变換され  $\gamma$  N-S 方程式の解析を必要とする。

この論文ではその手法として偏微分の方と Burgers 方程  
式の初期値問題を解析し、方 Fourier 成分を用いて、  
ルモード分布、散逸分布、エネルギー密度分布等を扱う。

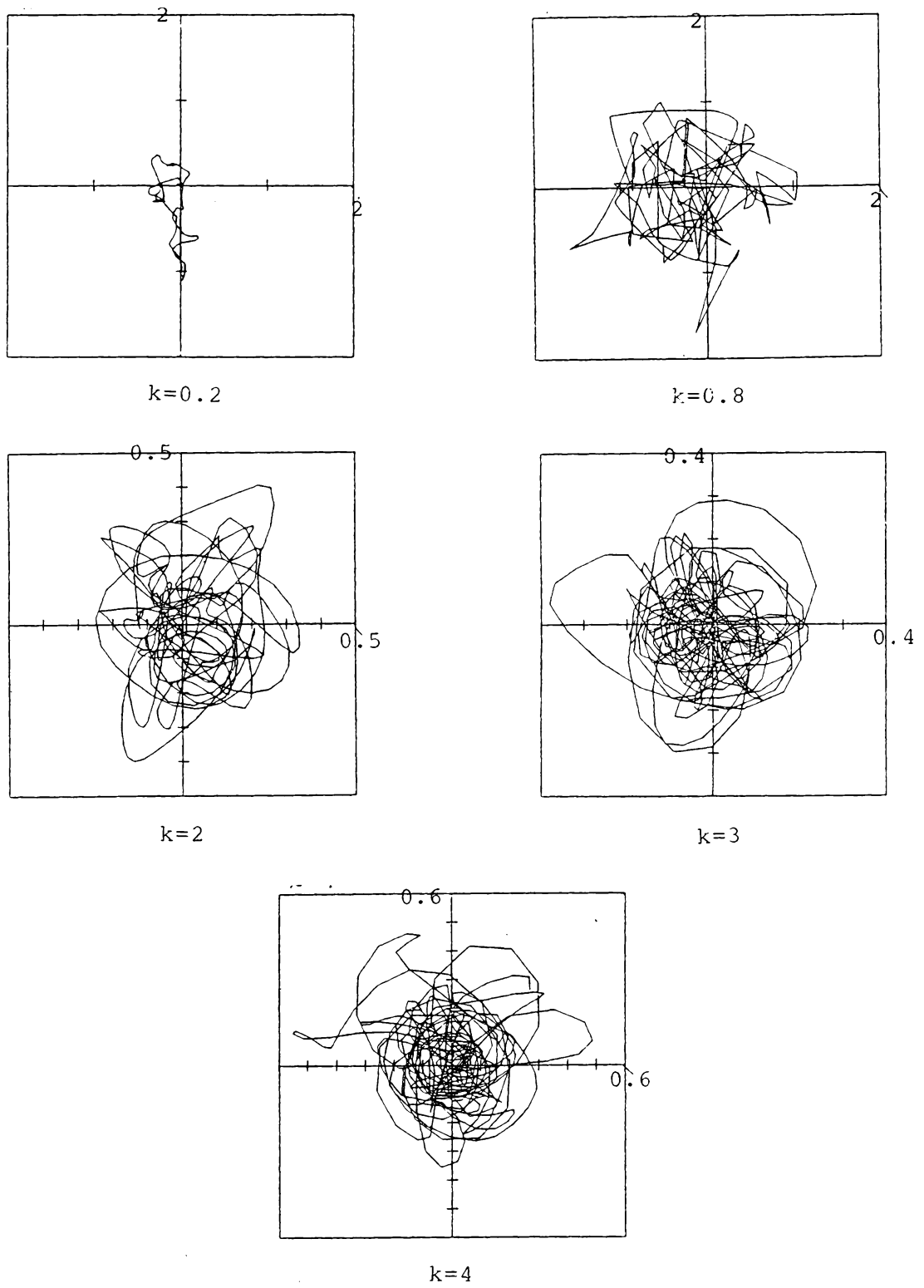
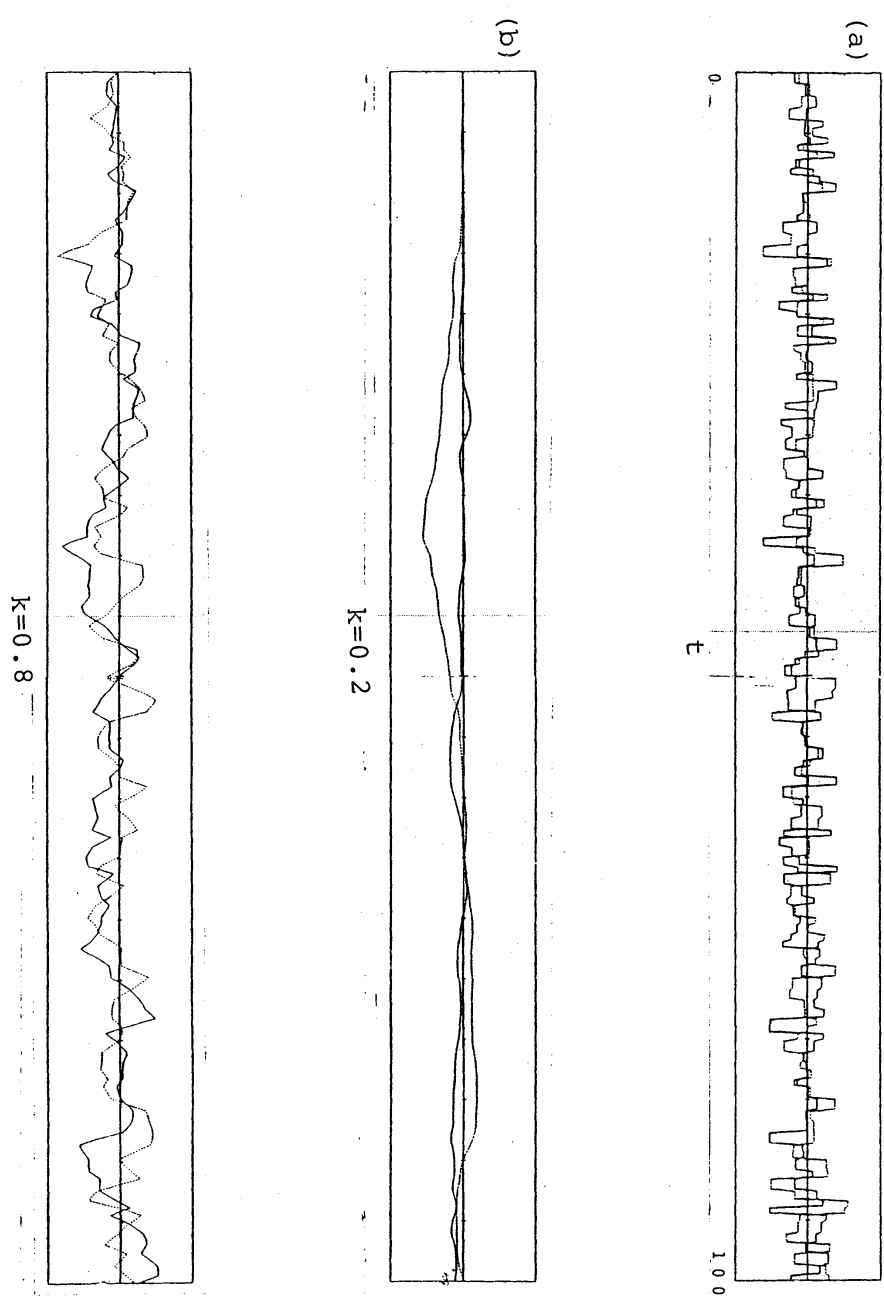


Fig.3. Time evolutions of the Fourier components of the velocity in the phase diagram ( $\text{Re}u(k), \text{Im}u(k)$ ), for  $R$ (:Reynolds no.)=20,  $\Delta k$ (:wave no. mesh length)=0.2,  $\Delta t$ (:time increment)=0.02 and  $L$ (:no. of retained Fourier components)=20.



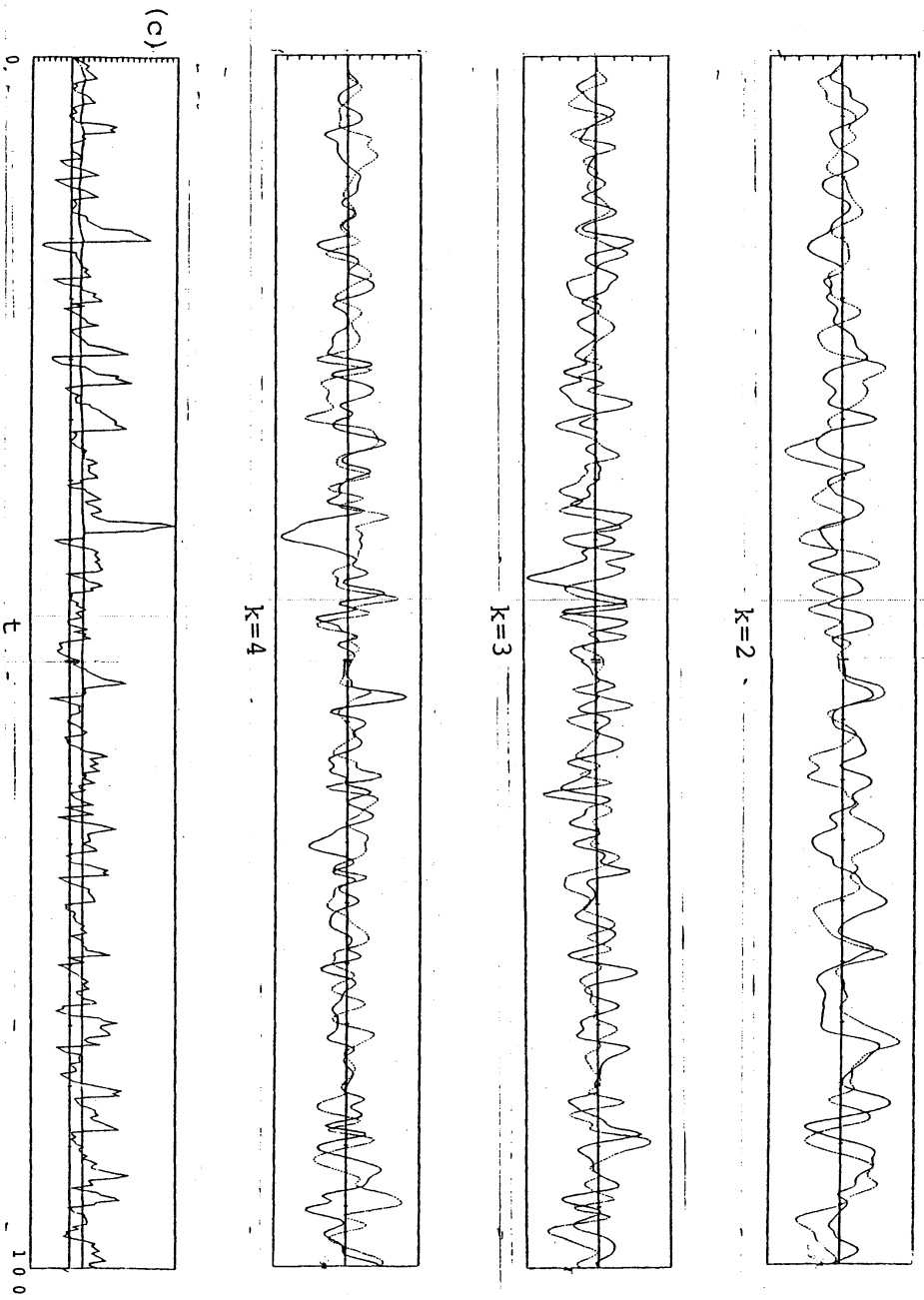


Fig. 4. Time evolutions of (a) random force  $F(0.8, t)$ , (b) the Fourier components of velocities  $Reu(k)$ ,  $Imu(k)$ , and (c) the rate of energy supply  $MRES(t)$  (—) the mean rate of energy supply  $MRES(t)$  (---).  
 — : the real part and --- : the imaginary part for (a) and (b).

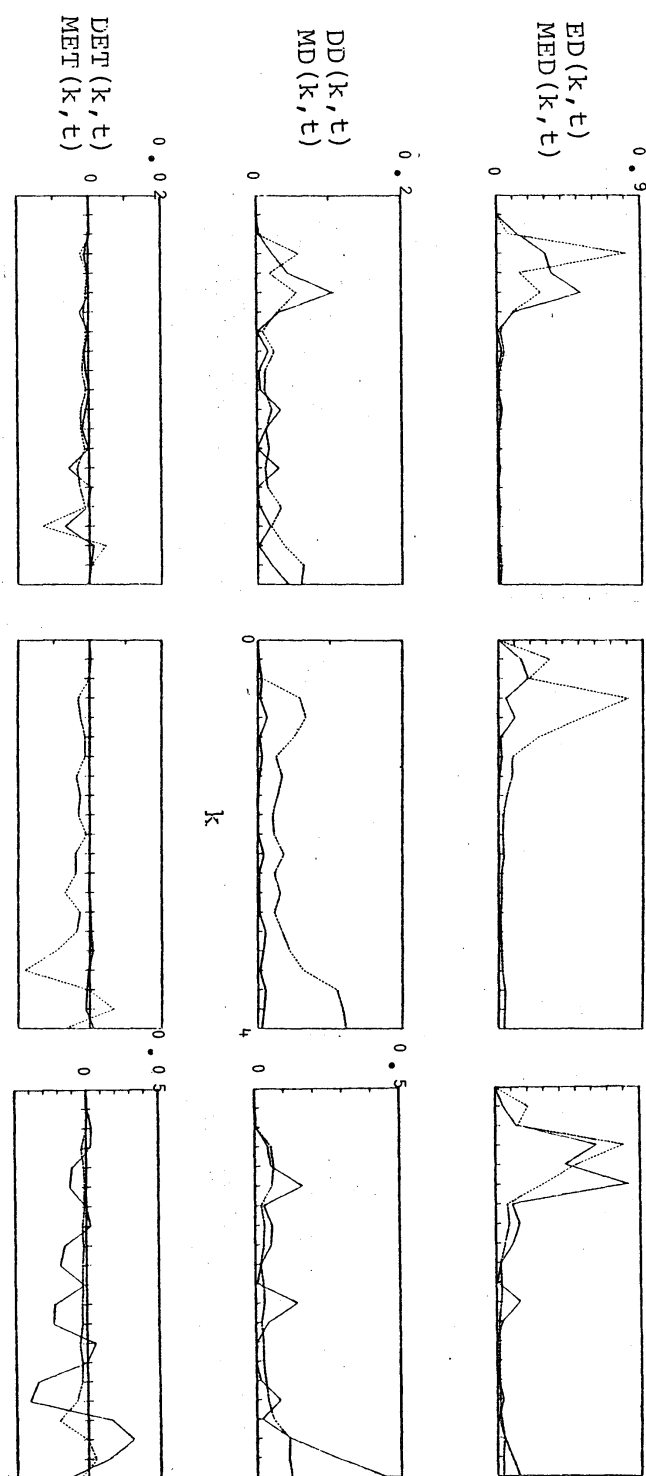


Fig. 5. Distributions of energy  $ED(k, t)$ , dissipation  $DD(k, t)$ , energy transfer  $DET(k, t)$  and time mean distributions of energy  $MED(k, t)$ , dissipation  $MD(k, t)$ , energy transfer  $MET(k, t)$ . - - - : distributions and — : time mean distributions.